论著

巨大子宫肌瘤的多 层螺旋CT诊断

汕头大学医学院第一附属医院放射 科(广东汕头515041)

庄儒耀 黄瑞滨 刘 源

【摘要】目的 探讨巨大子宫肌瘤的多层 螺旋CT表现,旨在提高影像认识。方法 对26例(均行MPR重建; 增强扫描12例)经 手术病理证实的巨大子宫肌瘤的CT资料 进行回顾性分析。结果 26例患者肿瘤最 大径线约9-35cm之间;位于子宫浆膜下 (n=8)、子宫阔韧带(n=5)、子宫肌壁间 (n=11)和子宫颈肌部(n=2);平扫7例为均 质性,与子宫等密度,17例为非均质性, 2例为囊实混合性; CT增强扫描11例不均 匀明显强化, 其内均可见多发细小血管 影,1例不均匀轻度强化。合并卵巢肿瘤 或囊肿6例,其中1例误诊为浆膜下子宫肌 瘤; 7例表现不典型; 11例病理证实肿瘤 内玻璃样变性,6例粘液样变性,2例囊性 变性。结论 巨大子宫肌瘤的多层螺旋CT 表现有一定特点,掌握其影像学特点有助 于提高诊断准确率; 但对于部分不典型表 现的子宫肌瘤的诊断, 应注意鉴别。

【关键词】巨大;子宫;平滑肌瘤; X线 计算机;体层摄影术;诊断

【中图分类号】R737.33

【文献标识码】A

DOI: 10.3969/j.issn.1672-5131.2015.05.032

通讯作者: 刘 源

Multi-slice Spiral CT Diagnosis of Giant Hysteromyoma

ZHUANG Ru-yao, HUANG Rui-bin, LIU Yuan. Department of Radiology, the First Affiliated Hospital of Shantou University Medical College, Shantou Guangdong 515041, China

[Abstract] Objective To explore CT findings of giant uterine leiomyoma and to improve its diagnostic accuracy. Methods 26 patients of pathologically-proved giant uterine leiomyoma who had typical CT signs were selected (all cases had CT MRP reconstruction; 12 cases with enhanced scan). Results The maximal diameter of giant uterine leiomyoma ranged from 9-35 cm. The lesions located at subserous of uterus (n=8), the broad ligament (n=5), the myometrium (n=11), the uterus cervix (n=2). 7 cases demonstrated homogeneous density similar to normal uterus tissue on CT scans. 17 cases demonstrated heterogeneous density and the other 2 cases demonstrated cysticsolid mixed. 11 cases demonstrated obviously inhomogeneous enhancement with multiple small vessels observed; only 1 case demonstrated mild inhomogeneous enhancement. 6 cases were complicated by ovarian tumors or cysts, and 1 case was misdiagnosised. 7 cases demonstrated atypical CT findings. Pathology proved hyaline degeneration in 11 cases; 6 cases mucoid degeneration; 2 cases cystic degeneration. Conclusion Giant uterine leiomyoma have some characteristics in CT findings; grasps its images features is helpful for the diagnosis. However, atypical manifestation of giant uterine leiomyoma should be reminded to the differential diagnosis.

[Key words] Giant; Uterus; Leiomyoma; X-Ray Computed; Tomography; Diagnosis

子宫平滑肌瘤又称子宫肌瘤,由平滑肌及纤维间质所组成,是女性生殖系统中最常见的良性肿瘤,好发于30~50岁,约占绝经期前妇女的70~80%^[1]。大部分子宫肌瘤通过常规B超或CT扫描可明确诊断,但有部分肿瘤因体积巨大(按CT图像测得最大径线>7cm时定义为巨大子宫肌瘤^[2])、发生部位特殊或变性等原因,容易造成误诊。本文对26例经手术病理证实的巨大子宫肌瘤的MSCT资料进行回顾性分析,旨在提高其影像诊断水平。

1 资料与方法

- 1.1 一般资料 回顾性分析2010年5月~2014年4月本院经手术病理证实的26例巨大子宫肌瘤患者的临床和CT资料。年龄24~64岁,中位年龄41岁。以腹部巨大包块就诊23例,月经量增多2例,绝经后阴道出血1例,病程3个月至4年。
- 1.2 CT检查 采用64层螺旋CT机(Lightspeed, GE公司,美国),管电压120Kev,管电流采用自动曝光控制技术(根据患者体型及部位智能调节),层厚5.0mm,层距5.0mm,螺距1.0。扫描前按腹部要求做好肠道准备,检查前4、2小时各口服1~2%碘水500ml,检查前半小时大量饮水充盈膀胱;均扩大扫描范围自盆底至肝顶。增强扫描采用团注法,采用双筒高压注射器经肘静脉注入对比剂碘普罗胺注射液(优维显300mgI/ml),用量1.5ml/kg,速率3.0ml/s。12例行平扫加双期增强扫描(动脉期28s,静脉期65s),14例仅行平扫。原始图像重建层厚层距均为0.625mm后传至GE ADW4.4工作站行MPR冠矢状位重建观察,部分行VR-3D重组。

1.3 影像评价 由2名有十 多年工作经验的放射诊断医师于 GE ADW4.4工作站或PACS终端分 别独立分析图像。分析病灶发生 的部位、大小、形态、边界、密 度、强化方式与程度以及与周围 组织器官关系等特点。对于多 发病灶,最大径线>7cm者纳入 统计,最大径线≤7cm者均不纳 入统计。CT强化依据强化幅度 判断^[3]: 无强化≤5HU、5HU<轻 度强化≤20HU、20HU<中度强 化≤40HU、重度(明显)强化> 40HU。最后意见由两名医师一致 做出。

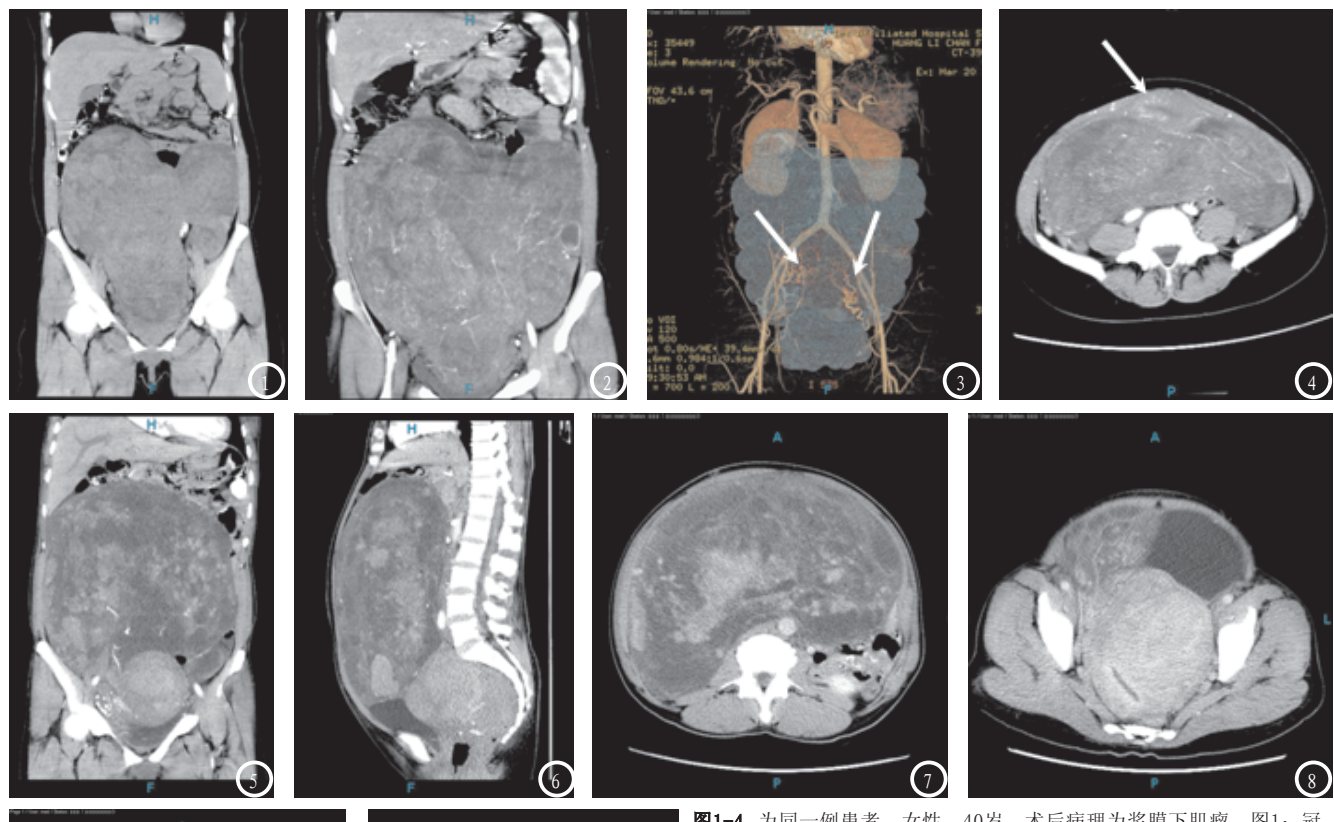
2 结 果

2.1 肿瘤发生部位 26例患者8例位于浆膜下(图1-4),5例位于阔韧带(图5-8),11例位于肌壁间(图9-10),宫颈肌部2例,本组没发现位于黏膜下者。单发14例,多发12例(2~15枚),12例多发病例均仅1枚肿块最大径线>7cm。7例术前未能准确定位,包括浆膜下3例、宫颈部2例、肌壁间1例,阔韧带1例。术前误诊5例,4例误诊为卵巢肿瘤、1例误诊为腹膜后肿瘤。

2.2 肿瘤境界、形态、大小及周围关系 26例患者18例肿瘤边界清晰,8例因位于宫颈或径线较大(直径达30cm)而边界不清。CT表现类圆形11例,

椭圆形9例,不规则形或分叶状6例。14例子宫腔变形移位或观察不清(图4、8)。15例肿瘤向上生长上界超出骨盆水平,最高达胸11水平(图5、6)。3例双肾、胰腺受压上移,8例位于子宫后方,15例膀胱受压前移、直肠后移,12例肠道受压向上、侧方移位。肿瘤最大径线约9~35cm之间,平均16.9cm,最大者径线约35×34×20cm。

2.3 肿瘤密度 7例为均质性肿块,与子宫等密度,CT值约31~60Hu。17例为非均质肿块,2例为囊实混合性,病理证实存在不同类型变性,包括玻璃样变性11例,粘液样变性6例,囊性



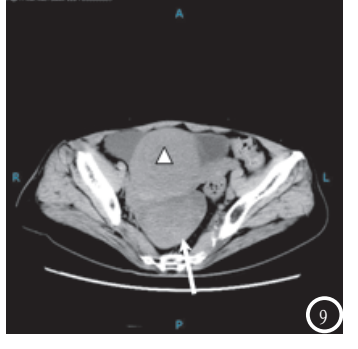




图1-4 为同一例患者,女性,40岁,术后病理为浆膜下肌瘤。图1:冠状位CT平扫示盆腔肿物呈不规则分叶状,图2:冠状位CT增强示肿物内呈不均匀明显强化,内见多发细小血管;图3:CTA-VR示肿物的供血血管源自子宫动脉(箭头);图4:轴位CT增强示受推压移位的子宫(箭头),宫腔变小呈线状并移位。

图5-8 为同一例患者,女性,47岁,术后病理为巨大阔韧带肌瘤伴粘液变性。图5-7 CT增强扫描冠状面、矢状面及轴位显示盆腔肿物呈椭圆形,位于子宫右上方,上缘约平T11水平,呈不均匀明显强化,内见多发细小血管;图8:轴位CT增强示子宫左前壁另见一肌壁间肌瘤,均匀明显强化。

图9、10 为同一例患者,63岁,术后病理为肌壁间肌瘤并右卵巢粘液性囊腺癌。图9轴位CT平扫、图10矢状位CT增强示盆腔内肌瘤位于子宫左侧肌壁间(Δ),宫腔显示不清。子宫后缘稍低混杂密度肿块,强化较子宫肌瘤稍低,为右卵巢粘液性囊腺癌(箭头)。

变性2例;其内大部分为实质成分,CT值约35~62Hu,伴有不规则条片状、线状低密度影,CT值约27~35Hu,囊性部分CT值约18~25Hu。增强扫描12例中11例呈不均匀中度或重度强化,其内均可见多发细小血管影(图2-3、图5-7),1例不均匀轻度强化。

- 2.4 不典型表现 本组中7 例CT表现不典型,4例肿瘤明显巨大,占据盆腹腔,平均径线达26.1cm,1例肿瘤变性明显(图5-7),2例起源于宫颈、阔韧带(图5-7)。
- 2.5 合并卵巢病变 经手术证实,3例合并卵巢肿瘤(卵巢纤维瘤1例,成熟型畸胎瘤1例,卵巢粘液性囊腺癌1例);3例合并囊肿性病变(黄体囊肿2例,巧克力囊肿1例),其中1例右卵巢粘液性囊腺癌误诊为浆膜下子宫肌瘤(图9、10)。

3 讨 论

3.1 子宫肌瘤的病理与常见 **CT表现** 子宫肌瘤是女性生殖系 统中最常见的良性肿瘤, 病理上 子宫肌瘤由平滑肌组织增生而 成, 其间有少量及纤维结缔组织 构成, 由于两者构成比例不同, 平滑肌细胞可以规则排列、交错 状或漩涡状排列。子宫肌瘤CT多 表现为实性肿块,平扫与子宫等 密度,与正常子宫无明显分界。 子宫形态改变在浆膜下呈局限性 突出, 肌壁间及粘膜下肌瘤子宫 形态变化不明显, 但子宫腔偏移 子宫中心。增强扫描子宫肌瘤血 供丰富,早期明显强化,且强化 均匀,密度稍低于正常子宫。王 维明等[4]认为子宫肌瘤以平滑肌 细胞为主,血供来源于单侧或双 侧子宫动脉,通过瘤蒂或假包膜 呈放射状供应瘤体内部, 血供丰 富。典型CT表现的子宫肌瘤往往不易误、漏诊。巨大子宫肌瘤因体积巨大、发生部位特殊或变性等原因,易造成盆腹腔多个脏器或组织结构与其相贴或被推压,容易与来源于盆腔和中下腹其他肿瘤混淆,造成定位甚至定性错误,容易造成误诊。

3.2 巨大子宫肌瘤的特殊性 及MSCT表现

3.2.1 巨大子宫肌瘤形态各异、瘤内易发生变性。Cruz等^[5]报道,子宫肌瘤变性接近70%。本组26例巨大子宫肌瘤形态、密度表现各异,主要表现为占据盆腔或盆腹腔的圆形、椭圆形或不规则形肿块。17例CT表现为非均质肿块,CT平扫密度以等密度、积则条片、斑片状稍低密度,少数(2例)为囊实性。12例增强或明显强化,1例轻度不均匀强化,可能是由于存在变性及纤维结缔组织排列不同所致。

3.2.2 巨大子宫肌瘤的占位效应明显,子宫腔可存在受压变形移位,本组中14例宫腔变小呈线状并移位。巨大子宫肌瘤与周围器官、血管脂肪间隙一般尚清,但可存在不同程度推移,这是因子宫为腹膜间位器官,子宫上部为腹膜覆盖,其余部分位于腹膜外间隙,与腹膜后间隙相通,巨大子宫肌瘤可向上生长,也可向后在腹膜后外间隙生长。

3.2.3 巨大子宫肌瘤发生部位特殊(如子宫颈、阔韧带)、肿瘤巨大(占据盆腹腔)及变性(如粘液变性、囊性变)等均可导致子宫肌瘤CT表现上不典型^[6],因而在诊断时存在一定困难性。本组中7例CT表现不典型,术前未能准确定位,4例肿瘤明显巨大,几乎占据盆腹腔,平均径线达26.1cm,

1例肿瘤变性明显,2例起源于宫颈、阔韧带。术前5例误诊,4例误诊为卵巢肿瘤、1例误诊为腹膜后肿瘤。

3.2.4 巨大子宫肌瘤可同时 合并卵巢肿瘤或囊肿性病变,本 组病例中6例经手术证实合并卵巢 纤维瘤1例,合并成熟型畸胎瘤1 例,卵巢粘液性囊腺癌1例,黄体 囊肿2例,巧克力囊肿1例,其中1 例右卵巢粘液性囊腺癌误诊为浆 膜下子宫肌瘤,这在平时临床诊 断工作中需要加以鉴别。

3.3 巨大子宫肌瘤的鉴别诊 断 (1)卵巢的良性肿瘤多为囊 性或多房囊状,壁薄而光滑、锐 利,体积较小,一般不难鉴别; 卵巢恶性肿瘤多为囊实性混合密 度影,位于子宫旁,应注意与变 性子宫肌瘤鉴别, 其实性部分强 化与子宫不一致, 且部分伴有腹 水及各种形式转移。(2)巨大子 宫肌瘤向头侧生长可达胰腺水平 以上, 需与肠道、腹膜间皮瘤鉴 别。来自肠系或腹膜的肿瘤以推 移肠管为主,很少压迫子宫或引 起子宫形态改变。巨大子宫肌瘤 常常推压或包绕子宫体, 使子宫 腔变扁或丧失正常形态, 增强扫 描子宫肌瘤多为显著均匀强化, MPR重建更为直观显示子宫与肿物 的关系[7]。(3)腹膜后肿瘤,如脂 肪肉瘤、平滑肌瘤、神经源性肿 瘤,有时不易与较大子宫肌瘤区 分。仔细寻找肿物与子宫关系及 观察肿物的密度有一定帮助,子 宫肌瘤呈与子宫肌层密度相仿或 稍高密度为多,而神经源性肿瘤 较少有此表现,脂肪肉瘤病灶内 可含有脂肪。腹膜后肿瘤与腹膜 后脏器、结构关系密切, 使其受 压变形或分界不清, 可致腹主动 脉、下腔静脉及肠系膜血管受压 前移,而子宫肌瘤则相反,并与 盆腔子宫关系密切[8]。

3.4 巨大子宫肌瘤MSCT应用

优势 MSCT具有较高密度分辨力,对肌瘤囊变、钙化、脂肪等成分的分辨具有一定优势;MSCT强大的图像后处理,如MPR、VR等^[7],可显示巨大子宫肌瘤大小、位置及周围脏器的关系;双期增强扫描显示肿瘤供血动脉有利于确定肿瘤来源^[9]。

总之,MSCT是诊断巨大子宫 肌瘤较好检查方法之一,可显示 大小、位置、血供及周围脏器的 关系^[10]。巨大子宫肌瘤MSCT表现 有一定特点,掌握其影像学表现 有利于提高巨大子宫肌瘤的影像 诊断水平。但对于部分不典型子 宫肌瘤的诊断,在临床工作中应 注意鉴别,必要时行MRI进一步检 查,马凤华等^[11]认为,MRI对巨大 子宫肌瘤的来源及女性盆腔巨大 肿块的鉴别有重要价值。

参考文献

- 1. 白人驹,张雪林. 医学影像诊断学[M]. 北京,人民卫生出版社, 2010.480.
- 2. Smith AK, Coakley FV, Jackon R, et al. CT and MRI of retroperitoneal edema associated with large uterine leiomyomas [J]. Comput Assit Tomogr, 2002.26(3):459-461.
- 3. 黄钟杰, 刘源, 郭仕涛. 节细胞神经瘤的CT、MRI影像表现[J]. 中国CT和MRI杂志. 2013. 11(03): 42-44.
- 4. 王维明, 曹晔, 陈彤, 等. 巨大子宫肌瘤19例的CT诊断[J]. 宁夏医学杂志. 2010. 32(11) 1040-1041.
- Cruz M, Murakami T, Tsuda K, et al. Myxoid leiomyoma of the uterus: CT and MRI feature[J]. AbdomImaging, 2001.26(1):98-101.
- 6. 李洪林, 关雨, 竭向伟, 等. 不典型子宫肌瘤的CT与超声表现[J]. 临床放射学杂志, 2002. 21(5): 359-

362.

- 7. 徐萍萍. 多排螺旋CT及MPR重建在巨大子宫肌瘤诊断中的应用[J].中国现代医生. 2011. 49(09): 86-87+161.
- 8. 段承祥, 杨世勋. 盆腔疾病影像鉴别诊断 [M]. 北京, 化学工业出版社医学出版分社, 2008.101-105.
- 9. 覃智颖, 张应和, 范真真, 等. 巨大子宫肌瘤供血动脉的MSCTA表现及临床应用价值[J]. 国际医药卫生导报, 2013. 19(11): 1577-1580.
- 10. Asayama Y, Yoshimitsu K, Aibe H, et al. MDCT of the gonadal veins in females with large pelvic masses: value in differentiating ovarian versus uterine origin[J]. AJR, 2006. 186 (2): 440-448.
- 11. 马凤华, 赵泽华, 刘文瑾, 等. 巨大子宫肌瘤粘液变性的CT和MRI诊断[J]. 上海医学影像, 2010. 3 (19): 38-41.

(本文编辑: 刘龙平)

【收稿日期】2015-03-26

(上接第 79 页)

Chinese Journal of Cancer Research, 2014, 04: 471-477.

- 6. 池嘉昌, 沈加林, 许建荣等. 全肝CT灌注成像在原发性肝癌TACE术后局部病灶活性评估中的临床应用[J]. 中国CT和MRI杂志, 2010, 19(7): 540-543.
- 7. 刘昕, 汪世存, 吕维富等. 18 F-FDG PET/CT对肝癌患者TACE术后 预后的相关性分析[J]. 安徽医

药, 2014, (11): 2106-2109.

8. Jose M EnríquezNavascués, Nerea Borda, Aintzane
Liz-erazu, Carlos Placer, Jose
L Elosegui, Juan P
Ciria, Adelaida Lacasta, Luis
Bujanda. Patterns of local
recurrence in rectal cancer
after a multidisciplinary
approach[J]. World Journal of
Gastroenterology, 2011, 13: 16741684.

- 9. 邹文远,张自力,石思李等.多层螺旋CT灌注成像对肝癌TACE前后血供变化的价值探讨[J]. 医学影像学杂志,2010,20(7):1003-1005.
- 10. 庄广义, 任伟新, 迪里木拉提·巴吾 冬等. 原发性肝癌TACE术后CT和DSA 随访对比分析[J]. 介入放射学杂 志, 2010, 18 (12): 942-945.

(本文编辑:张嘉瑜)

【收稿日期】2015-04-03

(上接第 102 页)

- 7. Parnell AP. Radiologic anatomy of the inguinofemaral region: insights from MDCT [J]. AJR. American journal of roentgen logy, 2007, 189 (4): W177-W183.
- 8. 纪建松,章士正,邵初晓,等.螺旋CT
- 对小肠内疝的诊断价值[J]. 中华放射学杂志, 2007, 41(6): 619-622.
- 9. Blachar A, Federle MP. Internal hernia: an increasingly common cause of small bowel obstruction[J]. Semin Ulrrosound CTMR, 2002, 23(2): 174-1831.
- 10. Martin LC, Merkle EM, Thompson WM. Review of internal

hernias: radiographic and clinical findings[J]. AJR, 2006, 186(3):703-7171.

(本文编辑: 刘龙平)

【收稿日期】2015-03-26